

# Modellierung von Lawinenbewegungen

## Die Savage-Hutter-Gleichungen

Lars Lubkoll

08. Januar 2008

# Inhaltsverzeichnis

- 1 kinetische Verfahren
  - Nebenbedingung
  - explizite Formulierung der Nebenbedingung
- 2 Ein kinetischer Ansatz für die Savage-Hutter-Gleichungen
- 3 einige numerische Tests
- 4 Quellen

# kinetische Verfahren für Erhaltungsgleichungen

## 1. Ansatz

Modellbildung mit Hilfe von Erhaltungssätzen und der Navier-Stokes- bzw. Eulergleichung  
(makroskopische Formulierung)

## 2. kinetischer Ansatz

Beschreibung der statistischen Teilchenverteilung  
(mikroskopische Formulierung)

↪ Boltzmann-Gleichung:

$$\frac{\partial}{\partial t} m(x, v, t) + v \nabla_x m(x, v, t) + \frac{F}{m} \nabla_v m(x, v, t) = Q(f)$$

F: äußere Kraft, Q: nichtlineares Kollisionsintegral

## Idee

Je nach Achsenskalierung  $q = \epsilon^{-1}x$ ,  $\tau = \epsilon^{-\alpha}t$ ,  $\alpha \in [1, 2]$  bestehen resultieren die Navier-Stokes- bzw. Euler-gleichungen aus dem Grenzwert  $\epsilon \rightarrow 0$  der skalierten Boltzmann-Gleichung

konstruiere math. Zusammenhang zwischen der Lösung  $f$  der Boltzmann-Gleichung und der Lösung  $U$  des ursprünglichen Problems (hier:  $u_t + f(u)_x = 0$ ) mittels Nebenbedingung

$$m(x, v, t) = \mu(u(x, t), v)$$

$\rightsquigarrow$  Probleme :

- 1 Bestimmung der Nebenbedingung  $\mu$

## Idee

Je nach Achsenskalierung  $q = \epsilon^{-1}x$ ,  $\tau = \epsilon^{-\alpha}t$ ,  $\alpha \in [1, 2]$  bestehen resultieren die Navier-Stokes- bzw. Euler-gleichungen aus dem Grenzwert  $\epsilon \rightarrow 0$  der skalierten Boltzmann-Gleichung

konstruiere math. Zusammenhang zwischen der Lösung  $f$  der Boltzmann-Gleichung und der Lösung  $U$  des ursprünglichen Problems (hier:  $u_t + f(u)_x = 0$ ) mittels Nebenbedingung

$$m(x, v, t) = \mu(u(x, t), v)$$

$\rightsquigarrow$  Probleme :

- 1 Bestimmung der Nebenbedingung  $\mu$
- 2 Bestimmung von  $u$  aus  $m$

$\rightsquigarrow$  Lösungen ergeben sich als Momente der Dichte  $m$

## Idee

Je nach Achsenskalierung  $q = \epsilon^{-1}x$ ,  $\tau = \epsilon^{-\alpha}t$ ,  $\alpha \in [1, 2]$  bestehen resultieren die Navier-Stokes- bzw. Euler-gleichungen aus dem Grenzwert  $\epsilon \rightarrow 0$  der skalierten Boltzmann-Gleichung

konstruiere math. Zusammenhang zwischen der Lösung  $f$  der Boltzmann-Gleichung und der Lösung  $U$  des ursprünglichen Problems (hier:  $u_t + f(u)_x = 0$ ) mittels Nebenbedingung

$$m(x, v, t) = \mu(u(x, t), v)$$

$\rightsquigarrow$  Probleme :

- 1 Bestimmung der Nebenbedingung  $\mu$
- 2 Bestimmung von  $u$  aus  $m$

$\rightsquigarrow$  Lösungen ergeben sich als Momente der Dichte  $m$

## ein einfaches Beispiel

## skalarer Advektionsprozeß

$$\frac{\partial u}{\partial t} + a \frac{\partial u}{\partial x} = 0$$

$$u(0, x) = u^0(x), t \geq 0, x \in \mathbb{R}$$

$$\text{Lösung } u(t, x) = u^0(x - at)$$

## kinetische Formulierung

$$\frac{\partial f}{\partial t} + v \frac{\partial f}{\partial x} = 0$$

$$f(0, v, x) = u^0(x) \delta(v - a)$$

$$\text{Lösung } f(t, v, x) = u^0(x - vt) \delta(v - a) = u^0(x - at) \delta(v - a)$$

# Entropie

Definition: Entropie/Entropie-Fluß-Paar zu  $u_t + f(u)_x = 0$

Ein Entropie-Fluß-Paar n-ter Ordnung ist ein Paar von Funktionen  $(U, F) \mathbb{R}^n \rightarrow \mathbb{R}^2$ , welches

$$\nabla F^T = \nabla U^T \nabla f^n$$

erfüllt

Somit lässt sich  $u_t + f(u)_x = 0$  als Entropieerhaltungsgesetz  $U_t + F_x = 0$  mit zugehöriger kinetischer Formulierung:

$$f_t + v f_x = 0, f(0, x, v) = \mu_\eta(u^0(x), v)$$

interpretieren.

(Lösung  $U(x, t) = \int_{\mathbb{R}} \mu_\eta(u^0(x - vt)) dv$ )



# Nebenbedingung

↪ neues Ziel:

finde  $\mu_\eta$ , so daß  $\eta(u(\Delta t, x)) - U(\Delta t, x) = O(\Delta t^{n+1})$

- 1 für skalare Erhaltungsgesetze und lineare Systeme existieren exakte Nebenbedingungen ( $n = \infty$ )
- 2 für Systeme von Erhaltungsgleichungen gilt:  
Nebenbedingungen der Ordnung  $n$  gibt es genau dann, wenn  $U$  eine Entropie  $n$ -ter Ordnung ist
- 3 für  $u \in \mathbb{R}^2$  gilt  $n = 1$  oder  $n = \infty$
- 4  $n \geq 1$

# linearer Fall

Betrachte

$$u_t + au_x = 0, u(0, x) = u^0(x)$$

Fouriertransformation in Ortskoordinaten ergibt:

$$\hat{u}_t + isa\hat{u} = 0$$

$$\hat{u}(0, s) = \hat{u}^0(s)$$

mit Lösung

$$\hat{u}(t, x) = \hat{E}_t \hat{u}^0(s)$$

$$\hat{E}_t(s) = \exp(itsa)$$

# linearer Fall

Somit ist die Lösung des ursprünglichen linearen Problems gegeben durch

$$u(t, x) = \int_{\mathbb{R}} E_t(y) u^0(x - y) dy = \int_{\mathbb{R}} E_1(v) u^0(x - tv) dv$$

Dies motiviert die Einführung der Nebenbedingung

$$\mu(u, v) = E_1(v) u$$

Desweiteren gilt:

$$\int_{\mathbb{R}} \mu dv = u$$

$$\int_{\mathbb{R}} v \mu dv = au$$

# nichtlinearer Fall

Betrachte Erhaltungsgesetz  $u_t + f(u)_x = 0$

$$\mu(u) = \int_{\Gamma_u} E = \int_0^1 E(\gamma(u, s)) \dot{\gamma}(u, s) ds$$

$$E(u) = \mathfrak{F}_s^{-1}(\exp(-is \nabla f(u)))$$

bzw. für Entropie-Erhaltungsgesetz  $U_t + F_x = 0$ :

$$\mu(U) = \int_{\Gamma_U} \nabla^T U E = \int_0^1 \nabla^T U(\gamma(u, s)) E(\gamma(u, s)) \dot{\gamma}(u, s) ds$$

mit  $\Gamma_u$  Weg vom Ursprung nach  $u$

Es lässt sich zeigen, daß auf diese Weise definierte

Nebenbedingungen optimal bzgl. der Konsistenzordnung sind.

# Konsistenz

Im Falle skalarer Gleichungen und falls  $\oint E = 0$  lässt sich lineare Stabilität zeigen.

Aus der Konvexität des Definitionsbereichs von  $E$  folgt  $\oint E = 0$



$E$  besitzt ein Potential



$E$  besitzt eine Stammfunktion



$(s\nabla f(u))^n$  besitzt eine Stammfunktion  $\forall n \in \mathbb{N}$

# Inhaltsverzeichnis

- 1 kinetische Verfahren
  - Nebenbedingung
  - explizite Formulierung der Nebenbedingung
- 2 Ein kinetischer Ansatz für die Savage-Hutter-Gleichungen
- 3 einige numerische Tests
- 4 Quellen

# Ansatz

## Savage-Hutter-Gleichungen

$$\partial_t h + \partial_x(hu) = 0$$

$$\partial_t(hu) + \partial_x(hu^2 + \beta \frac{h^2}{2}) = g(u)h$$

$$\beta = \epsilon k_{actpass} \cos \zeta$$

$$g(u) = \sin \zeta - \operatorname{sgn}(u) \cos \zeta \tan \delta, u \neq 0$$

# Ansatz

Ansatz für Dichte  $M(x,v,t)=M(h,v-u)$ :

$$h = \int_{\mathbb{R}} M(h, v - u) dv$$

$$hu = \int_{\mathbb{R}} vM(h, v - u) dv$$

$$hu^2 + \beta \frac{h^2}{2} = \int_{\mathbb{R}} v^2 M(h, v - u) dv$$



# (semi-)kinetische Formulierung

$\rightsquigarrow (h, hu)$  ist Lösung der Savage-Hutter-Gleichungen gdw.  
 $M(h, v-u)$  Lösung ist von

$$\partial_t M(h, v-u) + v \partial_x M(h, v-u) + g(u) \partial_v M(h, v-u) = Q(x, v, t)$$

wobei für  $Q$  gilt:

$$\int_{\mathbb{R}} Q dv = 0$$

und

$$\int_{\mathbb{R}} v Q dv = 0$$

# (semi-)kinetische Formulierung

Eigenschaften des resultierenden FV-Schemas:

- 1 gültig nur für  $\zeta = \text{const.}$
- 2 Vernachlässigung von  $Q$  ermöglicht i.A. für hyperbolische System noch Konstruktion von Verfahren erster Ordnung

# (semi-)kinetische Formulierung

Eigenschaften des resultierenden FV-Schemas:

- 1 gültig nur für  $\zeta = \text{const.}$
- 2 Vernachlässigung von  $Q$  ermöglicht i.A. für hyperbolische System noch Konstruktion von Verfahren erster Ordnung
- 3 Schema garantiert  $h > 0$  und somit Hyperbolizität der Gleichungen

# (semi-)kinetische Formulierung

Eigenschaften des resultierenden FV-Schemas:

- 1 gültig nur für  $\zeta = \text{const.}$
- 2 Vernachlässigung von  $Q$  ermöglicht i.A. für hyperbolische System noch Konstruktion von Verfahren erster Ordnung
- 3 Schema garantiert  $h > 0$  und somit Hyperbolizität der Gleichungen
- 4 konservativ für  $h$

# (semi-)kinetische Formulierung

Eigenschaften des resultierenden FV-Schemas:

- 1 gültig nur für  $\zeta = \text{const.}$
- 2 Vernachlässigung von  $Q$  ermöglicht i.A. für hyperbolische System noch Konstruktion von Verfahren erster Ordnung
- 3 Schema garantiert  $h > 0$  und somit Hyperbolizität der Gleichungen
- 4 konservativ für  $h$
- 5 verallgemeinerbar auf 2 Dimensionen und höhere Ordnungen

# (semi-)kinetische Formulierung

Eigenschaften des resultierenden FV-Schemas:

- 1 gültig nur für  $\zeta = \text{const.}$
- 2 Vernachlässigung von  $Q$  ermöglicht i.A. für hyperbolische System noch Konstruktion von Verfahren erster Ordnung
- 3 Schema garantiert  $h > 0$  und somit Hyperbolizität der Gleichungen
- 4 konservativ für  $h$
- 5 verallgemeinerbar auf 2 Dimensionen und höhere Ordnungen
- 6 Lawinenbewegung komplett simulierbar (incl. Start/Stop)

# (semi-)kinetische Formulierung

Eigenschaften des resultierenden FV-Schemas:

- 1 gültig nur für  $\zeta = \text{const.}$
- 2 Vernachlässigung von  $Q$  ermöglicht i.A. für hyperbolische System noch Konstruktion von Verfahren erster Ordnung
- 3 Schema garantiert  $h > 0$  und somit Hyperbolizität der Gleichungen
- 4 konservativ für  $h$
- 5 verallgemeinerbar auf 2 Dimensionen und höhere Ordnungen
- 6 Lawinenbewegung komplett simulierbar (incl. Start/Stop)
- 7 besteht aus 2 Schemas, einem zur Beschreibung der Bewegung bei hoher Geschwindigkeit und einer Modifikation welche stationäre Zustände erkennen kann

# (semi-)kinetische Formulierung

Eigenschaften des resultierenden FV-Schemas:

- 1 gültig nur für  $\zeta = \text{const.}$
- 2 Vernachlässigung von  $Q$  ermöglicht i.A. für hyperbolische System noch Konstruktion von Verfahren erster Ordnung
- 3 Schema garantiert  $h > 0$  und somit Hyperbolizität der Gleichungen
- 4 konservativ für  $h$
- 5 verallgemeinerbar auf 2 Dimensionen und höhere Ordnungen
- 6 Lawinenbewegung komplett simulierbar (incl. Start/Stop)
- 7 besteht aus 2 Schemas, einem zur Beschreibung der Bewegung bei hoher Geschwindigkeit und einer Modifikation welche stationäre Zustände erkennen kann



# Inhaltsverzeichnis

- 1 kinetische Verfahren
  - Nebenbedingung
  - explizite Formulierung der Nebenbedingung
- 2 Ein kinetischer Ansatz für die Savage-Hutter-Gleichungen
- 3 einige numerische Tests
- 4 Quellen

# Beispiel 1

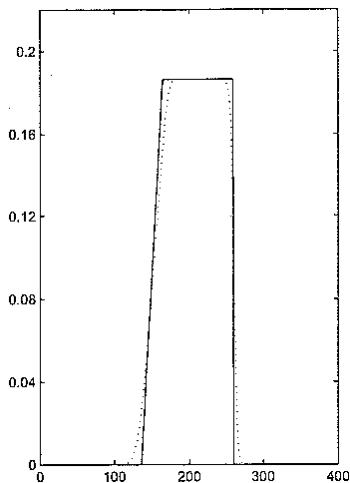
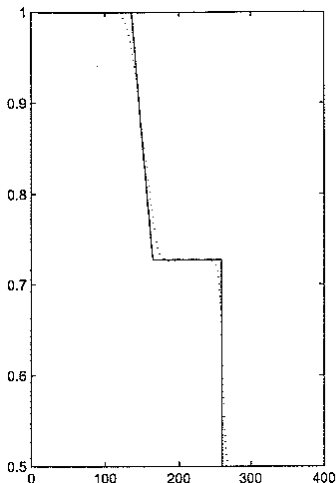
In allen, bis auf dem letzten, der folgenden Beispiele wrde  $\epsilon = 0.4$ ,  $\Delta x = 0.05$  und  $\Delta t = 0.001$  gewählt.

Betrachte Savage-Hutter-Gleichungen mit  $\zeta = \delta = 0$  und Anfangsdaten

$$h(0, x) = \begin{cases} 1 & x \leq x_0 \\ 0.5 & x > x_0 \end{cases} \quad (1)$$

$$u(0, x) = 0$$

## Beispiel 1 (5000 Zeitschritte)



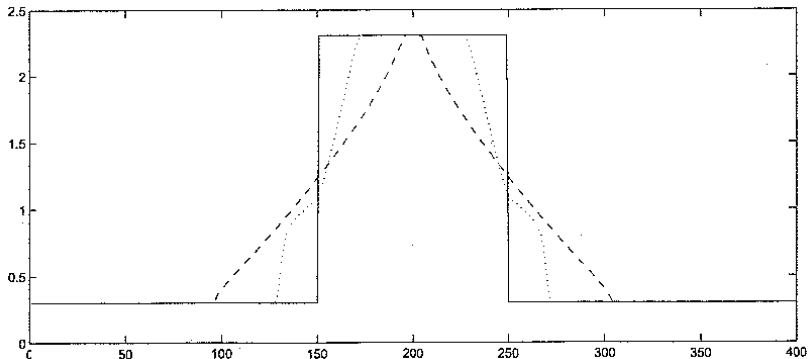
## Beispiel 2

Betrachte Savage-Hutter-Gleichungen mit  $\zeta = 0$ ,  $\delta = \frac{\pi}{10}$  und Anfangsdaten

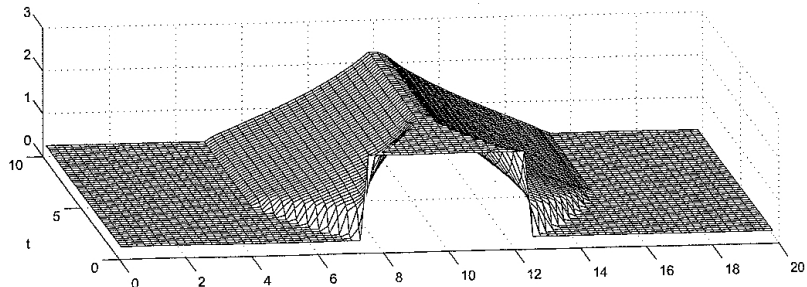
$$h(0, x) = \begin{cases} 0.3 & x \leq x_1 \\ 2.3 & x_1 < x < x_2 \\ 0.3 & x > x_2 \end{cases} \quad (2)$$

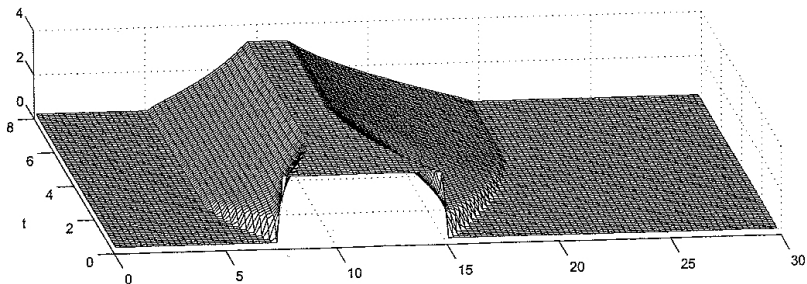
$$u(0, x) = 0$$

## Beispiel 2



## Beispiel 2



Beispiel 2 ( $\zeta = \frac{\pi}{15}$ ,  $\delta = \frac{\pi}{5}$ )

## Beispiel 3

Betrachte Savage-Hutter-Gleichungen mit  $\zeta = 0$ ,  $\delta = \frac{\pi}{15}$  und Anfangsdaten

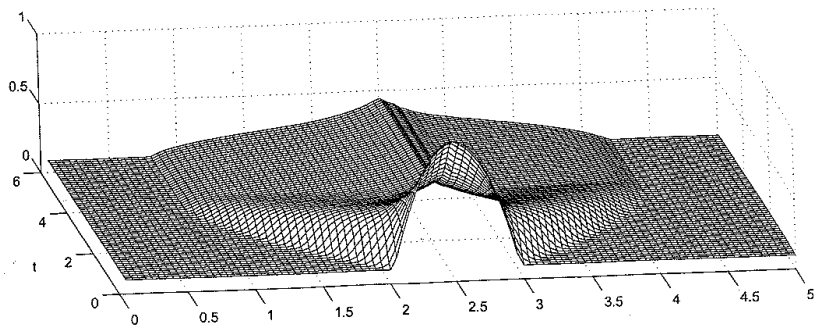
$$h(0, x) = \max(K/10, K - l(x - x_0)^2) \quad (3)$$

$$u(0, x) = 0$$

$$K = 1, \quad l = 4$$



## Beispiel 3



## Beispiel 4

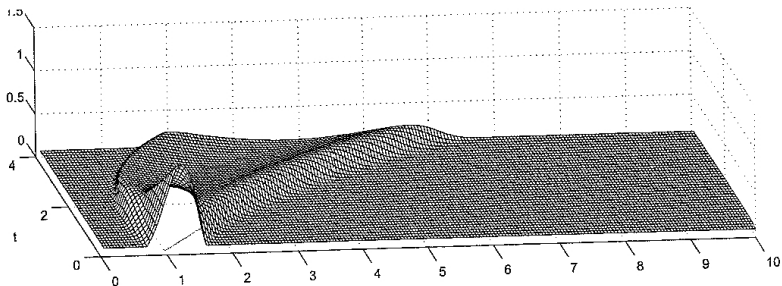
Betrachte Savage-Hutter-Gleichungen mit  $\zeta = \delta = 0$  und Anfangsdaten

$$h(0, x) = \begin{cases} \max(0.9 \sin[\pi(x - 0.6)] - 0.3 \sin[2\pi(x - 0.6)], 1] & 0.6 < x < \\ 0.1 & \text{sonst} \end{cases} \quad (4)$$

$$u(0, x) = 0$$

$$\epsilon = 0.3218, \quad \zeta = 30, \quad \delta = 10$$

## Beispiel 3



# Inhaltsverzeichnis

- 1 kinetische Verfahren
  - Nebenbedingung
  - explizite Formulierung der Nebenbedingung
- 2 Ein kinetischer Ansatz für die Savage-Hutter-Gleichungen
- 3 einige numerische Tests
- 4 Quellen

# Quellen

- 1 Michael Junk, A kinetic approach to hyperbolic systems and the role of higher order entropies
- 2 Michael Junk (2000), A new perspective on kinetic schemes, SIAM J. NUMER. ANAL., Vol 38, No. 5, pp. 1603-1625
- 3 Christine Kaland and Jens Struckmeier (2007), A kinetic scheme for the Savage-Hutter equations, Hamburger Beiträge zur Angewandten Mathematik
- 4 Cercignani, C., Illner, R., Pulvirenti, M. (1994), The mathematical theory of dilute gases, Springer

Vielen Dank für Eure Aufmerksamkeit!

Fragen?